

## Imágenes de interés

## Hallazgo casual de mioma uterino en estudio de mucosa gástrica ectópica

## Incidental finding of uterine myoma by ectopic gastric mucosa scan

L.M. Mena Bares <sup>a,\*</sup>, F. Martín Ordóñez <sup>a</sup>, A. Ramos López <sup>a</sup>, J. Morillas Ariño <sup>b</sup> e I.R. Jiménez Romero <sup>c</sup><sup>a</sup> Servicio de Medicina Nuclear, SESCAM, Hospital General Virgen de la Luz, Cuenca, España<sup>b</sup> Servicio de Digestivo, SESCAM, Hospital General Virgen de la Luz, Cuenca, España<sup>c</sup> General Electric Healthcare-URF, Hospital General Virgen de la Luz, Cuenca, España

## INFORMACIÓN DEL ARTÍCULO

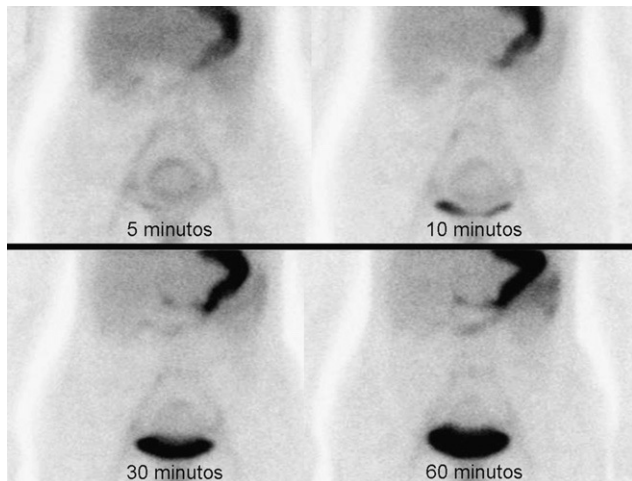
## Historia del artículo:

Recibido el 25 de enero de 2010

Aceptado el 2 de marzo de 2010

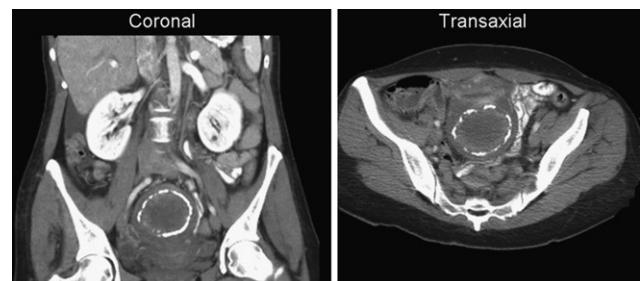
On-line el 11 de mayo de 2010

Mujer de 43 años con dolor abdominal que no cede con tratamiento analgésico. Durante su ingreso presenta un sangrado intestinal que no altera el perfil analítico. Se realiza una



**Figura 1.** Gammagrafía abdominal para la detección de mucosa gástrica ectópica tras la administración de 222 MBq de  $^{99m}\text{Tc}$ -pertechnetato sódico. Se realizan imágenes secuenciales, en proyección anterior, durante 60 min (se muestran imágenes de 5, 10, 30 y 60 min). Se evidencia una correcta distribución del radiotrazador en la mucosa gástrica, con eliminación renal e intestinal. En la región hipogástrica se observa un moderado refuerzo de captación, de morfología anular, que disminuye su intensidad a lo largo del estudio.

gammagrafía abdominal con  $^{99m}\text{Tc}$ -pertechnetato para descartar la presencia de un divertículo de Meckel, en la que se evidencia un incremento en la captación del radiotrazador en la región hipogástrica (fig. 1). Dado lo inusual de la localización y



**Figura 2.** Imágenes de TC en cortes axial y coronal. Se observa un mioma localizado en la región posterior del útero, de gran tamaño (72 mm de diámetro máximo), y calcificado en su periferia.

morfología de la captación, se realiza una TC, que muestra un mioma uterino, parcialmente calcificado (fig. 2).

El estudio con  $^{99m}\text{Tc}$ -pertechnetato presenta una elevada sensibilidad (85–95%) y especificidad (90–95%) en la detección de mucosa gástrica ectópica. Resulta primordial realizar una correcta interpretación de las imágenes, teniendo en cuenta las vías de eliminación del radiofármaco, así como, los factores que modifican su distribución. El estudio gammagráfico adquiere su máximo valor predictivo cuando es evaluado conjuntamente con la clínica y con las exploraciones radiológicas<sup>1–3</sup>.

## Bibliografía

1. Kiratli PO, Aksoy T, Bozkurt MF, Orhan D. Detection of ectopic gastric mucosa using  $^{99m}\text{Tc}$  pertechnetate: review of literature. Ann Nucl Med. 2009;23: 97–105.
2. Frutos L, Marín MD, Lillo ME, Coronado M, Coya J, Martín Curto LM. Falso positivo de divertículo de Meckel debido a riñón ectópico. Rev Esp Med Nucl. 2006;25:265–6.
3. Howarth DM. The role of nuclear medicine in the detection of acute gastrointestinal bleeding. Semin Nucl Med. 2006;36:133–46.

\* Autor para correspondencia.

Correos electrónicos: lmmena@sescam.jccm.es, lmmeba@hotmail.com (L.M. Mena Bares).